



موسسه آموزش عالی جای



به نام آن که جان را کفرت آموخت چراغ دل به نور جان برآوردخت

بدینوسیله گواهی می گردد مقاله با عنوان زیر:

پیش‌بینی هوشمندانه انگلکرد حرارتی و نوع ہوکرکن خودسیدیابهره کیری از شگفت‌حصی مصنوعی

مریم زمانیان ، عباس روحانی ، خسرو جعفرپور

در دومین همایش ملی جریان سیال، انتقال حرارت و جرم که در تاریخ پانزدهم بهمن ماه یکهزار و سیصد و نود و چهار در محل هتل آسمان اصفهان برگزار گردید، ارائه و در لوح فشرده همایش نیز به چاپ رسیده است.

دکتر سید غلامرضا اعتماد

دبير همایش

دیوبین، همایش ملی جریان سیال، انتقال حرارت و جرم
۱۳۹۴

۱۵ بهمن

پیش‌بینی هوشمندانه عملکرد حرارتی دو نوع هوایگرمکن خورشیدی‌بنا بهره‌گیری از شبکه عصبی

مصنوعی

مریم زمانیان*^۱، عباس روحانی^۲، خسرو جعفرپور^۳

۱-دانشجوی دکتری، گروه مهندسی بیوپریستم، دانشگاه فردوسی مشهد

۲-استادیار گروه مهندسی بیوپریستم دانشگاه فردوسی مشهد

۳-استاد دانشکده مهندسی مکانیک، دانشگاه شیراز

m.zamanian@stu.um.ac.ir

arohani@um.ac.ir

kjafarme@shirazu.ac.ir

چکیده:

یکی از روش‌های استفاده از انرژی خورشیدی استفاده از جمع‌کننده‌های خورشیدی است. در این پژوهش یک جمع‌کننده خورشیدی هوایی با دو نوع پوشش شیشه‌ای پله‌ای و تخت ارزیابی شد. جمع‌کننده‌های مورد نظر در معرض مستقیم تابش خورشید مورد بررسی قرار گرفتند. این پژوهش به منظور ارزیابی قابلیت مدل شبکه عصبی پرسپترون در مدلسازی و پیش‌بینی کارایی حرارتی جمع‌کننده‌ها تحت تاثیر پارامترهای ورودی، جریان جرمی سیال ورودی، دمای هوای ورودی و خروجی از جمع‌کننده، دمای صفحه جاذب، ضخامت آن، تخلخل صفحه جاذب و شید خورشید، انجام شد. آزمایش‌ها در سه تکرار در فواصل زمانی ۱۱ تا ۱۳ بعد از ظهر، با متوسط تابش خورشیدی Wm^{-2} 10^{40} انجام گرفت. مقادیر بدست آمده از آزمایشات با مقادیر پیش‌بینی شده توسط شبکه عصبی مقایسه شدند. با توجه به ضریب تبیین بدست آمده برای پوشش شیشه‌ای تخت (۰/۹۸) و پله‌ای (۰/۹۹) می‌توان گفت که کاربرد شبکه عصبی مصنوعی روشنی دقیق برای پیش‌بینی عملکرد حرارتی جمع‌کننده‌های هوایی خورشیدی می‌باشد.

کلمات کلیدی: جمع‌کننده خورشیدی هوایی تخت، شبکه عصبی مصنوعی، عملکرد حرارتی.

۱- مقدمه:

انرژی خورشید به عنوان یکی از مهم‌ترین منابع انرژی تجدیدپذیر بر روی زمین می‌باشد که علاوه بر سازگاری با محیط زیست همیشه در قسمت اعظمی از سطح کره زمین یافت می‌شود و انسان همواره برای مهار این انرژی و استفاده بهینه از آن تلاش کرده است. یکی از روش‌ها برای استفاده از انرژی خورشیدی، جمع‌کننده‌های خورشیدی می‌باشد. جمع‌کننده‌های خورشیدی با سیال کاری هوا از لحاظ ساخت و نگهداری ساده هستند. عدم خوردگی مسیر عبور هوا، عدم نشت هوا، رسانایی صفحه جاذب و عدم یخ‌زدگی سیال از جمله مزایای جمع‌کننده‌های خورشیدی با سیال کاری هوا نسبت به جمع‌کننده‌های خورشیدی با سیال خنک کننده آب می‌باشد. مهم‌ترین مشکل این جمع‌کننده‌ها پایین بودن ضریب انتقال گرما بین صفحه جاذب و هوا است که باعث کاهش بازده گرمایی آن می‌شود [۱۸]. تاکنون در جمع‌کننده‌های هوایی خورشیدی دو نوع جاذب تخت و متخلخل بکار گرفته شده است. از معاویب اصلی جاذب‌های غیر متخلخل تخت نقصان انتقال گرمایی کامل بین جاذب و سیال بوده که منجر به پایین آمدن بازده گرمایی جمع‌کننده می‌گردد. در حقیقت در این جمع‌کننده‌ها لایه‌های زیرین هوا که از روی صفحه جاذب عبور می‌کند در طول مسیر با هوا در تماس بوده و با بالا رفتن دمای آن در مسیر، انتقال گرما از صفحه جاذب به سیال کاهش

می‌یابد. در نتیجه دمای صفحه جاذب بالا رفته و انتقال گرما به پوشش شیشه‌ای از طریق همرفت و تابش افزایش می‌یابد که این امر موجب افت گرمایی بیشتر می‌گردد. این نوع صفحات جاذب برای استفاده در جمع‌کننده‌های با جریان طبیعی یا آزاد مناسب هستند، زیرا افت فشار کمی ایجاد می‌کند و مانع حرکت سیال نمی‌گردد[۹] در جمع‌کننده‌های از نوع متخلخل هوای عبوری از جمع‌کننده از میان خلل و فرج صفحه جاذب عبور کرده و باعث ارتقاء کیفیت انتقال گرما بین جاذب و سیال می‌گردد. همچنین به خاطر تماس هوای خنک بر روی صفحه جاذب و عبور هوا تحت عامل مکش باعث کاهش ضایعات گرمایی به طریقه‌ی همرفتی و تابشی می‌گردد[۱۰]. صفحات جاذب متخلخلی که تاکنون در تحقیقات متفاوتی مورد بررسی قرار گرفته است عبارتند از: جاذب‌های ساخته شده از ورقه‌های آلومینیومی بریده شده [۷] ، تورهای سیمی، [۸، ۱۱] خردکهای شیشه، صفحاتی از جنس الیاف مصنوعی سیاه [۳] و پارچه ضخیم کتانی سیاه[۲۷]. همچنین ورقه‌های فلزی سوراخدار و شیاردار می‌باشد[۳]. مزیت صفحه جاذب متخلخل نسبت به غیر متخلخل این است که اتلاف انرژی گرمایی به محیط به دلیل نفوذ و جذب تابش خورشیدی در عمق صفحه جاذب کمتر است [۹]. مطالعاتی که Whillier (۱۹۶۴) بر روی جمع‌کننده‌های با سیال کاری هوا از نوع معمولی انجام داد، مشخص شد که استفاده از یک لایه پوشش شفاف برای افزایش بازده جمع‌کننده از لحاظ اقتصادی ضروری است، مگر اینکه ضریب انتقال گرما بین صفحه جاذب و هوای عبوری از $8 \frac{Btu}{hr.ft^2.F}$ تجاوز کند[۲۵].

(۲۰۰۱) Zomorodian et al. در پژوهشی یک جمع‌کننده با جاذب متخلخل از جنس پارچه ضخیم کتانی سیاه را مورد استفاده قرار دادند. پوشش شیشه‌ای این جمع‌کننده بصورت شکافدار با آرایش پله‌ای بود که فواصل عمودی بین شیشه‌ها ۳، ۵، ۷ و ۹ میلی‌متر در نظر گرفته شد. نتایج این تحقیق نشان داد که عملکرد این جمع‌کننده بالا است که علت آن بالا بودن انتقال گرما از جاذب متخلخل به هوا و کاهش تلفات گرمایی از قسمت فوقانی با به کار بردن پوشش شکافدار ذکر گردید [۲۷]

(۲۰۰۲) Sotudeh در تحقیقی به بررسی جهت وزش باد بر عملکرد یک جمع‌کننده بدون پوشش با منافذ شکاف مانند پرداخت. در این تحقیق مشخص شد که بیشترین کارایی گرمایی جمع‌کننده هنگامی است که جهت وزش باد عمود بر راستای شیارها باشد و کمترین مقدار آن با وزیدن باد در امتداد شیارها رخ می‌دهد. این تفاوت تأثیری در حدود ۱۰ تا ۲۰ درصد در بازده جمع‌کننده را شامل می‌شود[۲۱].

(۲۰۰۳) Razavikhosroshahi با استفاده از نرم افزار Fluent به بررسی عددی انتقال گرما در صفحات شبک همراه با مکش در جریان موازی پرداخت. وی بیان کرد که عملکرد گرمایی این صفحات وابسته به شش پارامتر بدون بعد است که یکی از آنها $\frac{t}{D} = x$ می‌باشد که نشان دهنده نسبت ضخامت صفحه به قطر سوراخ‌ها است. افزایش این پارامتر نشان دهنده افزایش سطح انتقال گرما درون سوراخ می‌باشد و باعث انتقال گرما بیشتر درون صفحه شده و کارائی گرمایی صفحه را افزایش می‌دهد[۱۹].

(۲۰۱۰) Zomorodian & Barati برای بالا بردن ضریب انتقال گرما بین صفحه جاذب و هوا از صفحه جاذب متخلخل با سه تخلخل متفاوت با ضخامت mm ۱/۲۵ از نوع صفحه سوراخدار آلومینیومی استفاده کردند و

برای کاهش تلفات گرمایی از قسمت فوقانی یک لایه پوشش مورد استفاده قرار دادند نتایج تحقیق آن‌ها دو تخلخل بهتر ۰/۰۳۱۴ و ۰/۰۱۷۷ برای صفحات جاذب را مشخص کرده است [۲۸].

(۱۹۹۹) Kalogirou et al در پژوهشی یک شبکه عصبی مصنوعی را به منظور پیش‌بینی انرژی مفید استخراج شده از سیستمهای ترموسیفونی گرمایشی خورشیدی آبی خانگی و افزایش دمای آب ذخیره شده مورد آموزش قرار دادند. نتایج بیانگر این بود که آموزش یک شبکه عصبی مصنوعی مناسب می‌تواند برای پیش‌بینی عملکرد این سیستمهای تحت هر شرایط آب و هوایی مورد استفاده قرار گیرد [۱۵].

(۲۰۱۳) Benli در تحقیقی از شبکه عصبی مصنوعی به منظور پیش‌بینی رابطه غیر خطی پیچیده بین عملکرد حرارتی و پارامترهای ورودی دو نوع جمع‌کننده خورشیدی هوایی با دو نوع جاذب مختلف، استفاده کرد. مقایسه بین مقادیر پیش‌بینی شده و داده‌های آزمایش بیانگر این بود که مدل LM توانایی شناخت رابطه بین ورودی‌ها و خروجی را دارد. همچنین تحلیل خطای آماری بیانگر این بود که مدل LM با ۳ نرون در لایه مخفی حالت بهینه انتخاب شد زیرا در این حالت ماکریم ضریب تبیین برای دو نوع جمع‌کننده در ترتیب ۰/۰۴۱۸ و ۰/۰۲۶۲ و مینیمم مقدار RMSE به ۰/۰۹۹۷۱ و ۰/۰۹۹۸۵ بدست آمد که رضایت‌بخش می‌باشد [۵].

(۲۰۱۲) Sharma et al. در پژوهشی، مروری بر کاربرد تکنیک‌های هوش مصنوعی در سیستمهای انرژی خورشیدی داشتند [۲۲] برای مثال کاربرد ANN در پیش‌بینی تابش خورشیدی جهانی در مناطقی که ابزار اندازه‌گیری مستقیم کاربرد ندارد [۲]، در کاربردی دیگر رفتار ساختمان از طریق شبیه سازی با شبکه عصبی مصنوعی ANN و ترکیب آن با الگوریتم ژنتیک برای بهینه‌سازی آسایش حرارتی و مصرف انرژی در ساختمان مسکونی، مورد بررسی قرار گرفت [۱۷]، استفاده از منطق فازی برای کنترل عملکرد صفحه غلتان محرك به عنوان یک دستگاه تنظیم کننده برای اطمینان و تضمین شدت روشنایی مورد انتظار، به منظور توسعه و طراحی کنترل کننده فازی برای کنترل موقعیت صفحه غلتان با توجه به تابش خورشیدی در دسترس، [۱۶] و نمونه‌هایی از کاربرد ANN در سیستمهای خورشیدی در این پژوهش است.

در نتیجه می‌توان گفت تکنیک‌های هوش مصنوعی برای بهبود قابل توجه در بهره‌وری و پیش‌بینی مجموعه‌ای بهینه از متغیرهای عملیاتی برای طراحی سیستم های انرژی خورشیدی مناسب‌اند که در این سیستمهای حوزه‌های بسیاری برای استفاده ترکیبی از این روش‌ها با دیگر تکنیک‌های بهینه سازی به منظور بهبود عملکرد سیستم وجود دارد. همچنین به منظور صرفه جویی در چرخه زندگی (LCS) و ارزیابی چرخه حیات (LCA) سیستمهای انرژی خورشیدی مورد استفاده قرار گرفته‌اند. پس از اجرای این روش و بعد از آموزش، مدل ANN توانایی پیش‌بینی نتایج رضایت‌بخش برای داده‌های ناشناخته شده را دارد.

اهداف این پژوهش به منظور ارزیابی قابلیت مدل شبکه عصبی پرسپترون در مدل‌سازی و پیش‌بینی کارایی حرارتی جمع‌کننده‌ها تحت تاثیر پارامترهای ورودی، جریان جرمی سیال ورودی، دمای هوای ورودی و خروجی از جمع‌کننده، دمای صفحه جاذب، ضخامت آن، تخلخل صفحه جاذب و شید خورشید، انجام شد.

آزمایش‌ها در سه تکرار در فواصل زمانی ۱۱ تا ۱۳ بعد از ظهر، با متوسط تابش خورشیدی Wm^{-2} ۱۰.۴۰ انجام گرفت.

۲- مواد و روش‌ها:

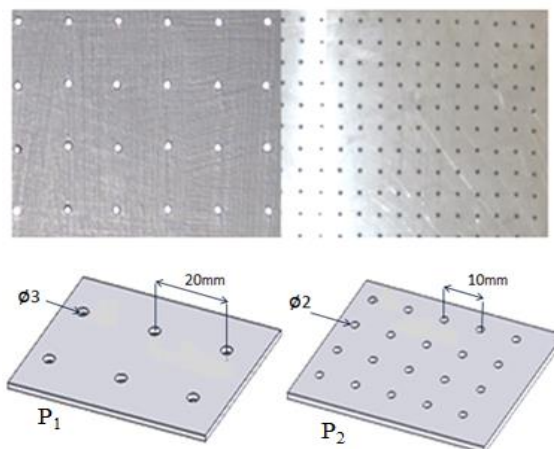
در این مطالعه دو نوع کلکتور خورشیدی هوایی مورد آزمایش قرار داده شد که تاثیر پارامترهای طراحی بر عملکرد حرارتی جمع‌کننده به کمک شبکه عصبی مورد بررسی قرار گرفت.

۲-۱- مشخصات هواگرمکن‌های مورد استفاده:

جهت ساخت دستگاه ابتدا چارچوب نگهدارنده صفحه جاذب به عنوان بدنی اصلی جمع‌کننده و کanal خروج هوای ساخته شدند و سپس صفحه جاذب نصب گردید. پوشش شیشه‌ای درون چارچوب ساخته شده قرار گرفت و قسمت‌های مختلف دستگاه درزبندی شد و سطوح تحتانی و جانبی آن کاملاً عایق‌بندی گردید. کanal خروجی دستگاه برای توزیع یکنواخت هوای با شکل مخروط ناقص با مقطع مستطیلی ساخته شده است. با توجه به نتایج بدست آمده توسط زمردان و برأتی (۲۰۱۰)، در تحقیق حاضر دو تخلخل $P_1 = 0.0177$ و $P_2 = 0.0314$ برای صفحات جاذب متخلخل آلومینیومی در نظر گرفته شد تا تأثیر تخلخل بر بازده بررسی شود همچنین صفحات با ابعاد $75cm \times 110$ و ضخامت $2/5mm$ مورد استفاده قرار گرفتند (قطر منافذ $2mm$ و به فاصله $1cm$ ($P_1 = 0.0314$) و در نوع دیگر منافذ به قطر $3mm$ و به فاصله $2cm$ ($P_2 = 0.0177$) در نظر گرفته شدند) همچنین آرایش منافذ در هر دو جاذب از نوع مربعی بود (شکل ۱). در این صفحات تخلخل هر صفحه از رابطه زیر به دست می‌آید [۱].

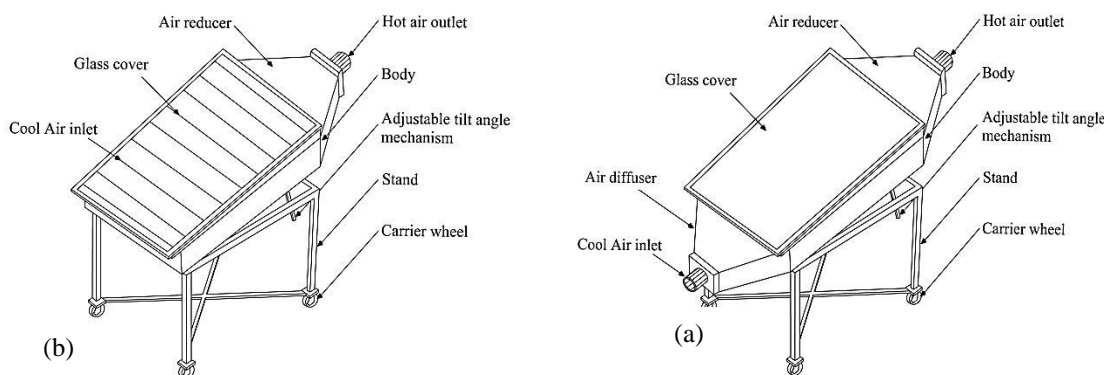
$$\sigma = \frac{A_{hole}}{A_{plate}} = \frac{\pi D^2}{4P^2} \quad (1)$$

که در آن D : قطر سوراخ (cm), P : گام تکرار سوراخ‌ها است (cm), σ : تخلخل صفحه جاذب، A_{hole} : سطح احاطه شده هر سوراخ (cm^2), A_{plate} : سطح کل صفحه جاذب (cm^2).



شکل ۱. صفحات جاذب با دو تخلخل متفاوت

برای اندازه‌گیری دمای صفحه جاذب، هوای ورودی و هوای خروجی کلکتور از حسگر حرارتی هوشمند از نوع SMT- ۱۶۰ با دقت ± 0.5 درجه سلسیوس استفاده گردید.



شکل ۲. نمایی کلی از جمع‌کننده خورشیدی هوایی. a) پوشش شیشه‌ای تخت، b) پوشش شیشه‌ای پله‌ای

دبی جرمی هوا یکی از کمیت‌های مهم جهت محاسبه بازده گرمایی جمع‌کننده‌های خورشیدی می‌باشد. برای اندازه‌گیری این کمیت از دبی سنج توربینی Lutron مدل YK-۲۰۰ ۱AL ساخت کشور تایوان با دقت ۱/۰ متر بر ثانیه استفاده شد. باید توجه داشت که با استفاده از دبی سنج سرعت هوای ورودی بر حسب متر بر ثانیه بدست می‌آید که برای تبدیل آن به دبی جرمی از رابطه زیر استفاده می‌شود:

$$\dot{m} \left(\frac{kg}{m^2.s} \right) = V \left(\frac{m}{s} \right) * A_1 (m^2) * \rho \left(\frac{kg}{m^3} \right) / A_2 (m^2) \quad (2)$$

که در آن \dot{m} : دبی جرمی هوای ورودی بر حسب $(m s^{-1})$ ، V : سرعت هوای ورودی بر حسب $(m s^{-1})$ ، A_1 : سطح محفظه عبوری هوا در محل نصب دبی سنج (m^2)، A_2 : سطحی از جاذب که مورد ارزیابی قرار می‌گیرد (m^2) و ρ : دانسیته هوای ورودی ($kg m^{-3}$).

برای مکش هوای ورودی در این جمع‌کننده، مکنده گریز از مرکز Parma با دور ۱۴۰۰ rpm و ساخت ایتالیا با سرعت ثابت مورد استفاده قرار گرفت. برای تغییر دور موتور و ایجاد دبی‌های مختلف ترانس مبدل^۱ مدل N50-۰۰ ۱۵SF، ساخت کشور کره و با توان ۱.۵ KW مورد استفاده قرار گرفت. همچنین اندازه‌گیری تابش خورشیدی در زمان آزمایش با استفاده از یک دستگاه شید سنج Cassela ساخت کشور انگلستان صورت گرفت. دامنه این شید سنج ۰ تا ۲۰۰۰ وات بر متر مربع می‌باشد که حساسیت آن یک میلی ولت بر وات بر مترمربع است. آزمایش هر روز از ساعت ۱۱ تا ۱۳ بعد از ظهر صورت می‌گرفت. فن دستگاه از ساعت ۱۰:۳۰ برای رسیدن به حالت پایدار روشن شده و هر آزمایش با توجه به ثابت زمانی جمع‌کننده به مدت ۳۰ دقیقه انجام می‌شد. بعد از آماده‌سازی جمع‌کننده آزمایش‌ها در شرایط طبیعی انجام شد. مناسب‌ترین زاویه

قرارگیری جمع‌کننده و شیدستنج طبق رابطه (۱) و با توجه به اینکه شیراز بر روی عرض جغرافیایی ۳۰ درجه شمالی قرار دارد، ۴۵ درجه تعیین و تنظیم شد [۶].

$$\alpha = 15 + \text{عرض جغرافیایی محل} \quad (3)$$

که در آن α زاویه قرار گیری جمع‌کننده و شیدستنج می‌باشد.

بازده جمع‌کننده از رابطه (۴)، با تقسیم انرژی جذب شده توسط هوای عبوری از جمع‌کننده بر انرژی تابش خورشیدی رسیده به سطح جمع‌کننده که توسط شیدستنج اندازه‌گیری شد، بدست می‌آید و بدین روش که در هر دبی آزمایشی از میانگین داده‌های سه تکرار مربوط به آن دبی استفاده گردید [۶]. میانگین دمای هوای ورودی، دمای صفحه جاذب، و هوای گرم خروجی از آن با استفاده از حسگرهای بدست آمد.

$$EF = \dot{m} c_p \frac{(T_i - T_f)}{G_T} \quad (4)$$

که در آن

EF : بازده جمع‌کننده، \dot{m} : دبی جرمی در واحد سطح جمع‌کننده ($kgs^{-1} m^{-2}$)، c_p : ظرفیت گرمایی ویژه هوای ($J kg^{-1} ^\circ C^{-1}$)، G_T : میزان شار تابشی بر روی صفحه جمع‌کننده ($W m^{-2}$)، T_i : دمای هوای خروجی از جمع‌کننده ($^\circ C$) و T_f : دمای هوای ورودی به جمع‌کننده ($^\circ C$).

۲-۲- مدل شبکه عصبی: در ابتدا داده‌های موجود به طور تصادفی به سه دسته مجموعه آموزش ۸۰ درصد کل داده‌ها (کل داده‌ها برای یک نوع جمع‌کننده ۷۲ عدد می‌باشد)، مجموعه اعتبار سنجی ۱۰ درصد و مجموعه تست ۱۰ درصد کل داده‌ها تقسیم‌بندی شدند.

برای مدل سازی از شبکه عصبی پرسپترون چند لایه (MLP) استفاده شد که این نوع شبکه عصبی با دریافت بردار ورودی (شامل دبی هوای عبوری از کلکتور، دمای هوای ورودی و خروجی، دمای جاذب، ضخامت و تخلخل صفحه جاذب و شید خورشید) بردار خروجی EF (بازده) را تولید می‌کند. هدف اتخاذ پارامترهای صحیح شبکه به منظور دستیابی به خروجی واقعی است که تا جای ممکن نزدیک به خروجی مطلوب متناظر با خود باشد [۲۴]. در آموزش شبکه از الگوریتم (BP) و نوع-Levenberg Marquardt (LM) استفاده شده است. کد کامپیوترا این الگوریتم در محیط برنامه‌نویسی MATLAB تهیه شد. برای ارزیابی قابلیت شبکه عصبی در پیش‌بینی عملکرد حرارتی از معیارهای متوسط قدر مطلق درصد خطای مربعات (MAPE)، ریشه متوسط مربعات خطای (RMSE) و ضریب تبیین معادله خطی رگرسیونی بین مقادیر پیش‌بینی شده توسط شبکه عصبی و مقادیر واقعی آنها استفاده شد [۲۰].

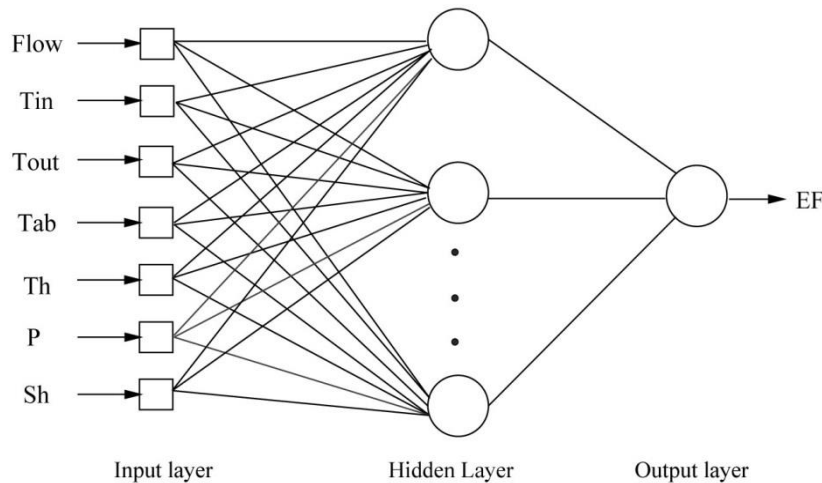
$$RMSE = \sqrt{\frac{\sum_{j=1}^n \sum_{i=1}^m (d_{ji} - p_{ji})^2}{nm}} \quad (5)$$

$$MAPE = \frac{1}{mn} \sum_{j=1}^n \sum_{i=1}^m \left| \frac{d_{ji} - p_{ji}}{d_{ji}} \right| \times 100 \quad (6)$$

۱- Mean Absolute Percentage Error

۲- Root Mean Squared Error

در اینجا d_{ji} مؤلفه i از خروجی واقعی مربوط به نرون j است، p_{ji} مؤلفه i از خروجی پیش‌بینی شده توسط شبکه مربوط به نرون j است، \bar{d} و \bar{p} به ترتیب متوسط خروجی‌های واقعی و پیش‌بینی شده توسط شبکه و n به ترتیب تعداد نرون‌ها و تعداد متغیرهای خروجی هستند.



شکل ۳. ساختار شبکه MLP

۳- نتایج و بحث:

برای رسیدن به بهترین ساختار شبکه عصبی مصنوعی با توجه به ثابت بودن تعداد ورودی‌ها، تعداد لایه‌های پنهان [۱۳]، تعداد نرون‌های خروجی و توابع فعال‌سازی هر نرون تعداد نرون‌های لایه مخفی مورد تغییر قرار گرفت. بر اساس قضیه تقریب عمومی، شبکه عصبی با یک لایه مخفی و با تعداد کافی نرون در آن لایه قادر به تقریب هر تابع پیوسته دلخواه است [۱۳]، یک لایه مخفی برای شبکه عصبی انتخاب شد. تعداد نرون‌های لایه مخفی با استفاده از روش آزمون و خطا بدست آمد. اگر تعداد نرون‌ها در لایه مخفی کافی نباشد، شبکه قادر به یادگیری خوب نخواهد شد. عکس این مسئله منجر به تضعیف ویژگی تعمیم پذیری شبکه می‌شود [۲۶]. نتایج نشان داد که شبکه عصبی MLP با ۱۰ نرون در لایه مخفی قادر به یادگیری عملکرد حرارتی در طول زمان است (با در نظر گرفتن $\alpha = 0.01$, $\eta = 0.001$, $epoch = 1000$). برای رسیدن به عملکرد بهتر و تسريع در همگرایی شبکه از عامل ممنتوم (α) استفاده شد [۱۱]. به دلیل اثرات متقابل این دو پارامتر در عملکرد شبکه، پیدا کردن مقادیر بهینه آنها مشکل می‌باشد [۲۳]. مقادیر بهینه پارامترهای نیز از طریق آزمون و خطا انتخاب شدند.

با در نظر گرفتن تعداد نرون‌های بهینه در مرحله آموزش^۴، نتایج بدست آمده از داده‌های مرحله آموزش، مرحله اعتبار^۵، مرحله آزمایش^۶ و کل^۷، بهترین مدل‌های شبکه عصبی برای کلکتور با پوشش شیشه‌ای تخت و پوشش شیشه‌ای پله‌ای مشخص شد.

⁴ Train

⁵ Validation

⁶ Test

۱-۳- تحلیل آماری نتایج شبکه عصبی: در جدول ۱ نتایج حاصل از پیش بینی شبکه عصبی آموزش دیده بر مبنای پارامترهای ورودی آورده شده است. هدف از این مرحله ارزیابی ویژگی تعمیم‌پذیری و شایستگی مدل عصبی انتخاب شده است. بنابراین مدل با استفاده از مجموعه داده‌هایی غیر از مجموعه داده‌های آموزش مدل (مجموعه داده‌های آزمون) ارزیابی می‌شود. با توجه به جدول می‌توان گفت نتایج مربوط به جمع کننده خورشیدی با پوشش شیشه‌ای پله‌ای مطلوب‌تر است زیرا دارای مراکزیم مقدار ضریب تبیین (R^2) و مینیمم مقدار معیارهای خطای MAPE و RMSE می‌باشد.

جدول ۱. شاخص‌های عملکردی داده‌های مجموعه آموزش، اعتبار، آزمایش و کل برای بهترین مدل‌های تخمین زده شده

| نوع کلکتور | شاخص‌ها | آموزش | اعتبار | آزمایش | کل |
|------------|---------------------|--------|--------|--------|--------|
| R^2 | | ۰/۹۹۹۰ | ۰/۹۷۹۴ | ۰/۹۴۰۷ | ۰/۹۸۹۸ |
| RMSE | پوشش شیشه‌ای تخت | ۰/۰۰۵۸ | ۰/۰۲۸۲ | ۰/۰۵۱۳ | ۰/۰۱۹۰ |
| MAPE(%) | | ۰/۸۷۷۹ | ۵/۷۲۹۴ | ۷/۹۹۸۱ | ۲/۰۴۱۸ |
| R^2 | | ۰/۹۹۹۸ | ۰/۹۹۰۷ | ۰/۹۵۶۲ | ۰/۹۹۱۴ |
| RMSE | پوشش شیشه‌ای پله‌ای | ۰/۰۰۲۷ | ۰/۰۲۲۸ | ۰/۰۵۴۷ | ۰/۰۱۸۶ |
| MAPE(%) | | ۰/۳۴۱۳ | ۳/۸۹۰۰ | ۴/۶۰۷۹ | ۱/۱۰۱۱ |

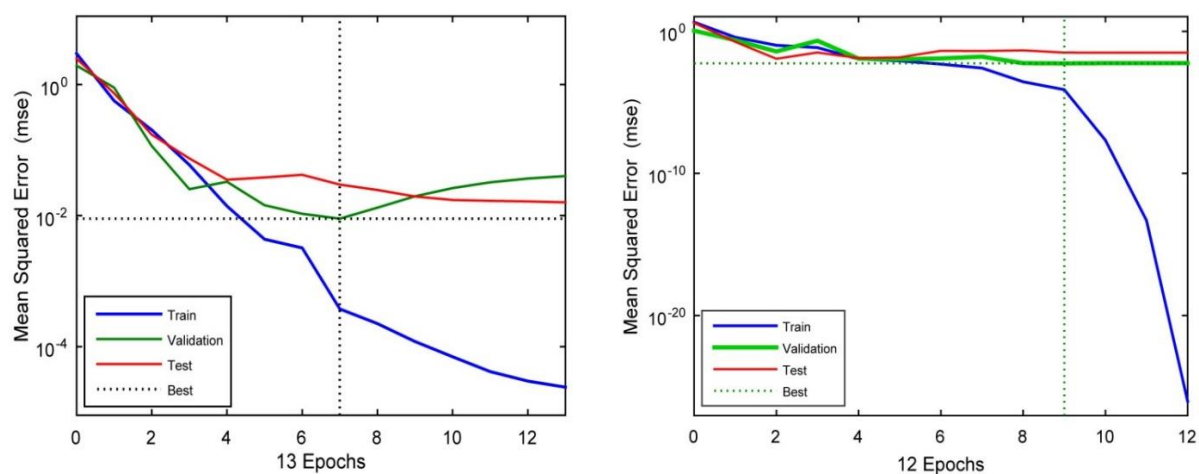
داده‌های واقعی و داده‌های پیش‌بینی شده توسط شبکه از نظر آماری با هم مقایسه شدند. نتایج عملکرد مدل شبکه عصبی بر حسب مقادیر p در سه مرحله آموزش، معتبرسازی و آزمون در جدول ۲ آورده شده است، می‌توان گفت در تمام موارد $P-value < 0.07$ می‌باشد، بنابراین بین میانگین، واریانس و توزیع آماری داده‌های آزمایشگاهی و پیش‌بینی شده توسط شبکه عصبی مصنوعی اختلاف معنی داری وجود ندارد این نتایج نشان می‌دهند که می‌توان به چنین شبکه‌هایی اطمینان کرد زیرا قابلیت تعمیم‌پذیری شبکه عصبی آموزش دیده قابل قبول می‌باشد. همچنین بر اساس مقدار ضریب تبیین (R^2) برای هر سه مرحله کاری شبکه می‌توان الگوی تغییرات عملکرد حرارتی کلکتور را به کمک شبکه عصبی تخمین زد بعلاوه با توجه به نتایج بدست آمده می‌توان گفت که پوشش شیشه‌ای پله‌ای مناسب‌تر است.

جدول ۲. مقادیر p مقایسات آماری میانگین، واریانس، توزیع و R^2 بین مقادیر واقعی و پیش‌بینی شده توسط ANN

| Test phase | | | Validation phase | | | Train phase | | | | |
|--------------|----------|--------|------------------|----------|--------|--------------|----------|--------|-------|-------------|
| Distribution | Variance | Mean | Distribution | Variance | Mean | Distribution | Variance | Mean | P | Flat cover |
| ۰.۴۲۳۲ | ۰.۶۶۶۷ | ۰.۷۷۰۱ | ۰.۹۹۹۸ | ۰.۹۶۴۲ | ۰.۹۳۰۰ | ۰.۹۹۸۷ | ۰.۹۷۲۸ | ۰.۹۸۱۴ | P | Flat cover |
| | | ۰.۹۴۰۷ | | | ۰.۹۷۹۴ | | | ۰.۹۹۹۰ | R^2 | |
| ۰.۴۲۳۲ | ۰.۵۳۰۴ | ۰.۸۷۴۳ | ۰.۸۸۲۷ | ۰.۸۷۰۰ | ۰.۹۸۸۶ | ۰.۹۹۸۷ | ۰.۹۵۴۶ | ۰.۹۹۸۶ | P | Slatt cover |
| ۰.۹۵۶۲ | | | ۰.۹۹۰۸ | | | ۰.۹۹۹۸ | | | R^2 | |

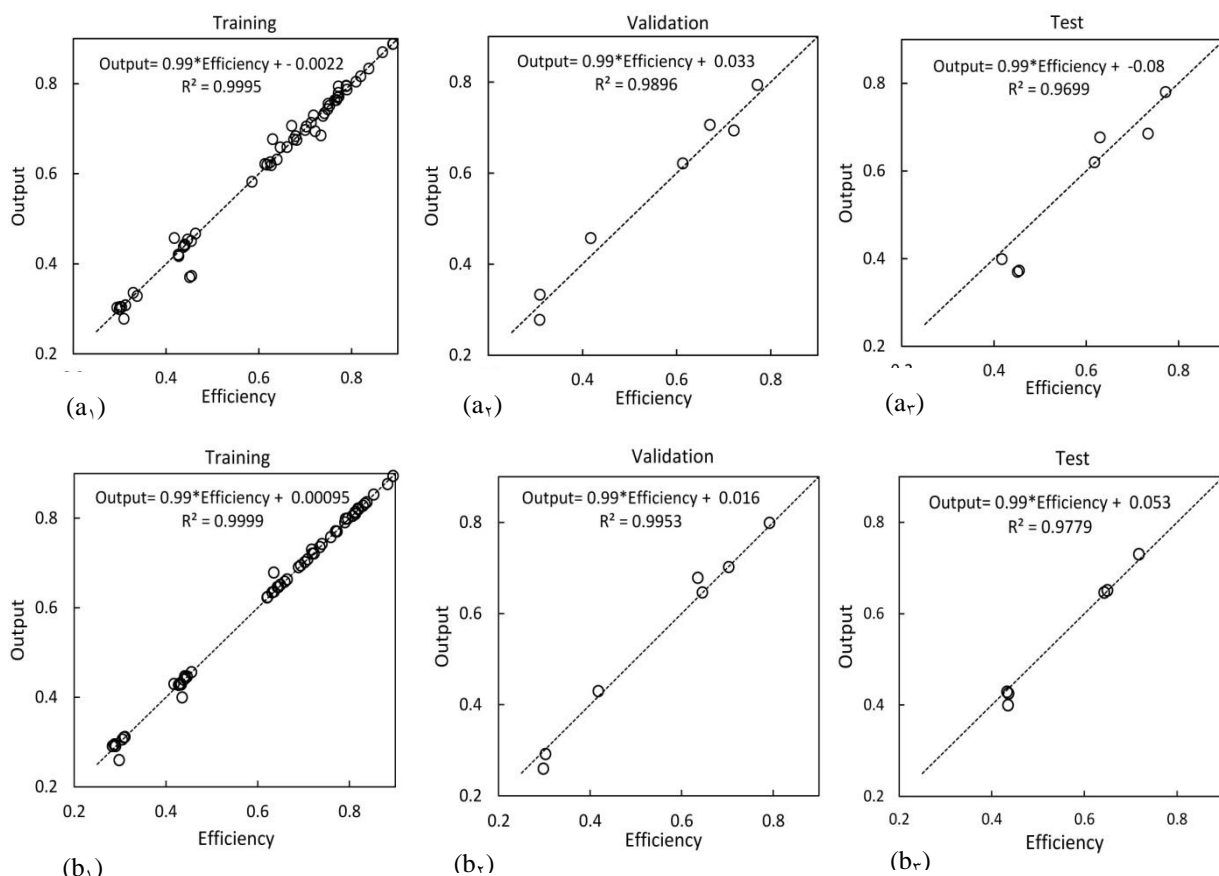
^۱ Total

نمودار همگرایی شبکه عصبی برای پیش‌بینی عملکرد حرارتی کلکتور با پوشش شیشه‌ای تخت و پله‌ای در شکل ۴ نشان داده شده است. مقدار ریشه میانگین مربعات خطأ یا RMSE از مقدار ۱۰۰ برای کل مجموعه آموزش و آزمایش و اعتبار به تدریج با افزایش تکرارها کمتر می‌شود و بعد از ۷ و ۹ تکرار به ترتیب برای پوشش‌های شیشه‌ای تخت و پله‌ای برای اعتبار مقدار ریشه میانگین مربعات خطأ رو به افزایش می‌رود. افزایش تعداد تکرارهای الگوریتم برای کل مجموعه آموزش موجب کاهش مقدار ریشه میانگین مربعات خطأ می‌شود در حالی که از تکرار هفتم و نهم به بعد ادامه تکرار بی‌فایده خواهد بود بلکه موجب افزایش مقدار ریشه میانگین مربعات خطأ در مجموعه اعتبار می‌شود.



شکل ۴. نمودار همگرایی شبکه عصبی برای پیش‌بینی عملکرد حرارتی کلکتور با پوشش شیشه‌ای تخت و پله‌ای. mse مقدار ریشه میانگین مربعات خطأ و Epochs: تعداد تکرارها. a) پوشش شیشه‌ای تخت. b) پوشش شیشه‌ای پله‌ای

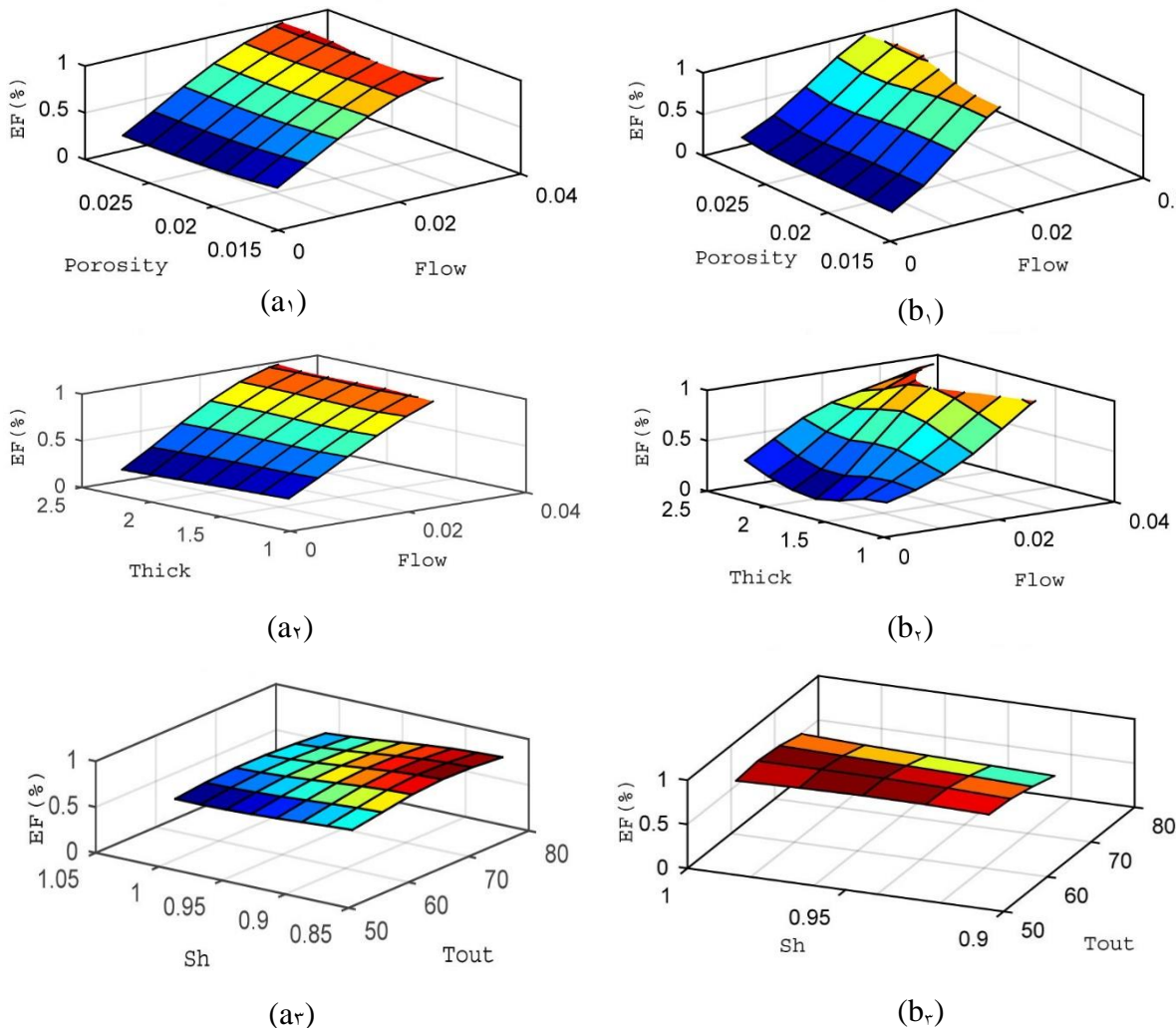
شکل ۵ ضرایب تبیین و همچنین رابطه خطی رگرسیونی بین مقادیر عملکرد حرارتی واقعی کلکتور هوایی با پوشش شیشه‌ای تخت و پوشش شیشه‌ای پله‌ای در مقابل عملکرد حرارتی پیش‌بینی شده برای این دو حالت را توسط شبکه عصبی نشان می‌دهد. بهترین نتایج بر اساس این دو معیار زمانی بدست می‌آید که معادله خطی ما بین عملکرد واقعی و عملکرد پیش‌بینی شده توسط شبکه علاوه بر داشتن ضریب تبیین بالا دارای کمترین عرض از مبدأ (نزدیک به صفر) و شبیه نزدیک به یک باشد ($Efficiency = \frac{Output}{Input} = 1/000$). کاملاً واضح است که ضرایب تبیین بین داده‌های اندازه‌گیری شده و پیش‌بینی در هر مورد بسیار بالا می‌باشد ($R^2 > 0.9$). همچنین معادله خطی رگرسیونی مابین آن‌ها دارای شبیه‌های نزدیک به واحد و عرض از مبداها نسبتاً کوچکی هستند، بنابر این می‌توان به چنین شبکه‌هایی اطمینان داشت. ارزیابی توانایی تکنیک شبکه عصبی مصنوعی به عنوان یک روش جایگزین در پیش‌بینی عملکرد حرارتی واقعی کلکتور هوایی خورشیدی نشان داد که شبکه عصبی مصنوعی توانایی بالایی در فراهم کردن پیش‌بینی‌های مطمئن و دقیق از عملکرد حرارتی دارد.



شکل ۵. رابطه بین مقادیر عملکرد واقعی و پیش‌بینی شده برای کلکتور با پوشش شیشه‌ای پله‌ای در مراحل (از سمت چپ) آموزش، اعتبار و آزمایش شبکه برای الگوریتم آموزش. Output: مقدار عملکرد حرارتی پیش‌بینی شده توسط شبکه و Efficiency: عملکرد واقعی.
a. پوشش شیشه‌ای تخت. b. پوشش شیشه‌ای پله‌ای.

با تحلیل آماری نتایج بدست آمده از تاثیر پارامترهای مختلف بر کارائی حرارتی جمع‌کننده خورشیدی هوایی، می‌توان گفت که پارامترهای دبی هوای ورودی، پوشش شیشه‌ای، تخلخل و ضخامت اثر بسیار معنی-داری ($p = 0.01$) بر روی راندمان نشان دادند. با بررسی کلی نمودارهای شکل ۶ می‌توان گفت در دبی-های پایین (دبی کمتر از $1 \text{ kgm}^{-2} \text{s}^{-1}$) راندمان برای دونمودار با دو پوشش متفاوت تقریباً یکی است که نتیجه می‌شود در دبی‌های پایین نوع پوشش تأثیر چندانی بر بازدهی کلکتور ندارد. اما با دقت در نمودار در می‌یابیم که در دبی‌های بالا کلکتور با پوشش پله‌ای تغییرات راندمان کمینه و بیشینه بیشتر از حالتی است که پوشش از نوع تخت باشد. دلیل این امر را می‌توان اینگونه بیان کرد که در حالتی که پوشش از نوع پله‌ای است به طور میانگین اختلاف دمای هوای ورودی و قسمتهای مختلف جاذب بیشتر از حالتی است که پوشش تخت می‌باشد به عبارت دیگر هوای ورودی از قسمتهای مختلف پوشش پله‌ای به طور یکنواخت‌تر جاذب را خنک می‌کند. همچنین در حالت پوشش پله‌ای چون هوا از شکافهای بین شیشه‌ها وارد جمع‌کننده می‌شود در نتیجه شیشه‌ها خنک شده و گرمای جذب شده به وسیله آنها منتقل می‌شود. لذا با مقایسه با پوشش

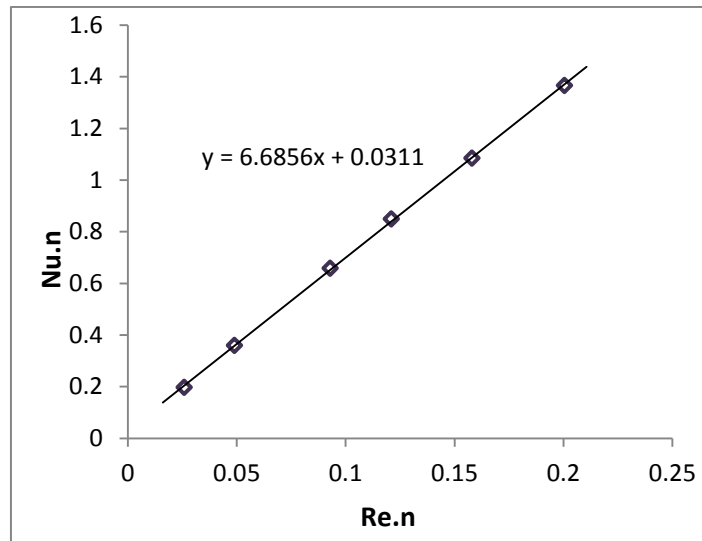
تخت می‌توان گفت چون جاذب و شیشه‌ها در حالت پله‌ای خنک‌تر می‌گردند، تلفات حرارتی جابجایی و تابشی هم به طبع آن کمتر شده و راندمان بیشتری بدست می‌آید.



شکل ۶. تاثیر پارامترهای مختلف بر عملکرد حرارتی جمع‌کننده خورشیدی هوایی
(a) جمع‌کننده با پوشش شیشه‌ای تخت، (b) جمع‌کننده با پوشش شیشه‌ای پله‌ای

با توجه به نمودارهای بدست آمده می‌توان گفت با افزایش دبی راندمان جمع‌کننده افزایش یافته است. علت افزایش راندمان در دبی‌های بالا متأثر از انتقال گرمای بهتر از جاذب به سیال به علت تماس حجم بیشتری از هوای با جاذب و بالا رفتن ضریب انتقال حرارت جابجایی (h) که باعث کاهش دمای جاذب و اختلاف آن با دمای هوای محیط می‌گردد، می‌باشد. این کاهش دما باعث کاهش تلفات حرارتی از طریق تابش و همرفت شده و همین امر عامل افزایش راندمان می‌باشد.

همچنین نمودار تغییرات عدد ناسلت^۱ نسبت به رینولدز در شکل ۷ مشخص شده است. همانطور که مشاهده می‌کنیم با افزایش عدد رینولدز عدد ناسلت مربوط به سیال انتقال دهنده گرم‌تر شده که حاکی از افزایش ضریب انتقال حرارت جابجایی h با افزایش دمای جرمی هوا می‌باشد همانطور که قبل نیز به همین نتیجه رسیده بودیم.



شکل ۷. تغییرات عدد ناسلت به ازای تغییرات عدد رینولدز

جالب توجه است که تغییرات عدد ناسلت با رینولدز بصورت خطی است [۱۴].

$$Re = \frac{VL}{\vartheta} \quad (7)$$

سرعت جریان هوا بر روی کلکتور ($m s^{-1}$)، L : طول مشخصه سطح مورد نظر (m)، ϑ : لزجت سینماتیکی سیال ($m^3 s^{-1}$)

$$Nu = \frac{hL}{k} \quad (8)$$

ضریب انتقال حرارت جابجایی ($W m^{-2} K^{-1}$)، L : طول مشخصه سطح مورد نظر (m)، k : ضریب زسانایی گرمای ($W m^{-1} K^{-1}$)

راندمان جاذب با تخلخل کمتر در دبی‌های پائین‌تر، بالاتر می‌باشد. در حقیقت تخلخل بیشتر و دبی کم باعث می‌شود تا بیشترها از قسمتهای پایین جاذب عبور کند و دمای قسمتهای نزدیک به خروجی هوا گرم‌تر باشد. به عبارتی دیگر جاذب با تخلخل کمتر در دبی‌های کم بهترین انتقال گرمای و کمترین تلفات حرارتی را داشته است و این در اثر عبور یکنواخت‌تر هوا از جاذب می‌باشد. اما با افزایش دبی، عبور هوا از جاذب یکنواخت‌تر گشته و عامل تخلخل تأثیر گذارتر بوده است. به عبارت دیگر بالا بودن راندمان صفحه جاذب با تخلخل بیشتر در دبی‌های بالا می‌تواند ناشی از تأثیر تخلخل بالای این صفحه باشد که این امر ناشی از تماس بیشتر هوا با جاذب است. بعلاوه مراکزیم راندمان در حالتی که ضخامت صفحه جاذب بیشینه است

^۱ Nusselt Number

اتفاق می‌افتد. در حقیقت در ضخامت ماقزیم، جرم بیشتری از ماده (آلومینیوم) بر اثر تابش خورشید گرم می‌شود و یا به عبارت دیگر هوای عبوری از جاذب در حین عبور از آن مسافت بیشتری از منافذ صفحه جاذب عبور کرده و همچنین جرم بیشتری از جاذب را پوشش می‌دهد و صفحه را خنک می‌کند، در نتیجه هوای خروجی از آن گرمتر می‌گردد. مطابق نتایج بدست آمده از نمودارها، با افزایش اختلاف دمای خروجی از جمع‌کننده و محیط به ازای واحد تابش خورشیدی، مقدار راندمان حرارتی در هر دو جمع‌کننده کاهش یافته است که مربوط به دبی‌های کم هوا می‌باشد. در حقیقت با افزایش دبی جرمی هوا، اختلاف درجه حرارت هوای خارج شده از صفحه جاذب نسبت به دمای هوای محیط در همه جمع‌کننده‌ها کاهش یافته که منجر به کاهش اختلاف دمای هوای خروجی از صفحه جاذب و محیط به ازای واحد تابش خورشیدی و افزایش راندمان حرارتی کلکتور می‌گردد.

با توجه به نتایج بدست آمده از آزمایشات و نتایج پیش‌بینی شده توسط شبکه عصبی، در کل می‌توان گفت کلکتور با پوشش شیشه‌ای پله‌ای عملکرد حرارتی بیشتری دارد.

۴-نتیجه گیری:

کاربرد شبکه عصبی مصنوعی برای پیش‌بینی رابطه عملکرد حرارتی دو نوع کلکتور هوایی خورشیدی و متغیرهای ورودی با موفقیت صورت گرفت. مقایسه بین مقادیر پیش‌بینی شده و مقادیر حاصل از آزمایشات بیانگر این بود که این مدل توانایی پیش‌بینی رابطه اساسی بین متغیرهای ورودی و عملکرد حرارتی کلکتور را دارا می‌باشد. همچنین آنالیز آماری خطاهای قابلیت اطمینان و دقت این مدل را نشان می‌دهد. ضرایب تبیین این مدل برای کلکتور با پوشش تخت ۰/۹۸ و برای کلکتور با پوشش پله‌ای ۰/۹۹ بدست آمد که مطلوب است. نتایج حاکی از آن است که نتایج پیش‌بینی شده توسط شبکه عصبی و کاربرد الگوریتم Backpropagation می‌توانند به طور دقیق برای پیش‌بینی عملکرد جمع‌کننده‌های خورشیدی هوایی مورد استفاده قرار گیرند که این مدل راه حل‌های سریعتر و ساده‌تری نسبت به روش‌های محدود آزمایشگاهی برای تخمین عملکرد حرارتی سیستم‌های خورشیدی بدست می‌دهد. در نتیجه می‌توان گفت این امکان وجود دارد که شبکه عصبی مناسبی را برای مدل کردن سیستم‌های خورشیدی آموزش دهیم که بتواند برای پیش‌بینی عملکرد سیستم‌های تحت شرایط آب و هوایی طبیعی مورد استفاده قرار گیرد.

۴- منابع:

۱. Arulanandam, S. J. (۱۹۹۰). A numerical investigation of unglazed transpired plate solar collectors under zero wind conditions. M. Sc. dissertation, Waterloo University, Ontario, Canada.
۲. Alawi, S., Hinai, H. (۱۹۹۸). An ANN based approach for predicting global solar radiation in locations with no direct measurement instrumentation, *Renewable Energy*, ۱۴, ۱۹۹-۲۰۴.
۳. Bansal, N. K., Bottcher, A. & Uhleman, R. (۱۹۸۳). Performance of plastic solar air heating collector with a porous absorber. *Energy Research*, ۷, ۳۷۵-۳۸۴.
۴. Beckman, W. A. (۱۹۶۸). Radiation and convection heat transfer in a porous bed. *ASME J. Eng. For Power*, ۹۰, ۵۱-۵۴.
۵. Benli, H. (۲۰۱۳). Determination of thermal performance calculation of two different types solar air collectors with the use of artificial neural networks, *International Journal of Heat and Mass Transfer* ۶۰, ۱-۷.
۶. Biondi, P., Cicala, L. & Farina, G. (۱۹۸۸). Performance analysis of solar air heater of conventional design. *Solar Energy*, ۳, ۵۵-۶۴.
۷. Chiou, J. P., Duffie, J. A. & El-Wakil, M. M. (۱۹۶۰). A slit and expanded aluminium foil matrix solar collector. *Solar Energy*, ۹, ۷۳-۹۰.
۸. Collier, R. K. (۱۹۷۹). The characterization of crushed glass as a transpired air heating solar collector material. In: Proc. I.S.E.S., Silver Jubilee Congress, Atlanta, GA, ۱, pp. ۲۶۴-۲۶۸.
۹. Duffie, J. A. & Beckman, W. A. (۱۹۹۱). *Solar Engineering of Thermal Processes* (2nd ed.). John Wiley & Sons, New York. ۹۱۸p.
۱۰. Fechner, H. & Bucek, O. (۱۹۹۸). Investigations on several series produced collectors. *Renewable Energy*, ۲۸, ۲۹۳-۳۰۲.
۱۱. Gupta, M. M., Jin, J., Homma, N., ۲۰۰۳. *Static and Dynamic Neural Networks: From Fundamentals to Advanced Theory*. John Wiley & Sons, Inc., Hoboken, New Jersey.
۱۲. Hamid, Y. H. & Beckman, W. A. (۱۹۷۱). Performance of air-cooled radatively heated screen matrices. *J. of Engineering for power*, ۹۳, ۲۲۱-۲۲۴.
۱۳. Haykin, S. (۱۹۹۹). *Neural networks: A comprehensive foundation*. McMillan College Publishing Company, New York
۱۴. Incropera, F. P. and D. P. Dewitt. ۱۹۹۶. *Fundamentals of Heat and Mass Transfer*. John Willey & Sons, New York. ۹۱۸p.
۱۵. Kalogirou, S. A. Panteliou, S. Dentsoras, A. (۱۹۹۹). Artificial neural networks used for the performance prediction of a thermosiphon solar water heater, *Renewable Energy* ۱۸ (۱۹۹۹) ۷۶-۸۸.
۱۶. Lah, M.T., Zupancic, B., Peternelj, J. (۲۰۰۷). Daylight illuminance control with fuzzy logic, *Solar Energy*, ۸۰ ۳۰۷-۳۲۱.
۱۷. Magnier, L., Haghigat, F. (۲۰۱۰) Multiobjective optimization of building design using TRNSYS simulations, genetic algorithm, and Artificial Neural Network, *Building and Environment*, ۴۵ (۲۰۱۰) ۷۳۹-۷۴۶
۱۸. Mohamad, A. A. (۱۹۹۷). High efficiency solar air heater. *Solar Energy*, ۶۰(۲), ۷۱-۷۶.
۱۹. Razavikhosroshahi, A. (۲۰۰۳). Numerical simulation study on heat transfer of porous absorber solar air collector with parallel airflow. M. Sc. dissertation, Shiraz University, Department of Mechanical Engineering, Shiraz, Iran. (In Farsi)
۲۰. Rohani, A., Abbaspour-Fard, M.H., and Abdolahpour, S.(۲۰۱۱). Prediction of tractor repair and maintenance costs using artificial neural network. *Expert System Applications* ۳۸, ۸۹۹۹-۹۰۷.
۲۱. Sotudeh, A. (۲۰۰۲). Numerical ۳-D simulation of airflow along heat transfer from porous absorber under suction with different angle. M. Sc. dissertation, Shiraz University, Department of Mechanical Engineering, Shiraz, Iran. (In Farsi)
۲۲. Sharma, N., Chauhan, M. K., Kumar, R. (۲۰۱۲). Applications of artificial neural network in solar thermal systems: a review, *Proceedings of the National Conference on Trends and Advances in Mechanical Engineering YMCA University of Science & Technology, Faridabad, Haryana*.
۲۳. Vakil-Baghmisheh, M. T., Pavešić, N., ۲۰۰۱. Back-propagation with declining learning rate. *Proceeding of the ۱۰th Electrotechnical and Computer Science Conference, Portorož, Slovenia*. Vol B, ۲۹۷-۳۰۰.
۲۴. Vakil-Baghmisheh, M.T. (۲۰۰۲). Farsi Character Recognition Using Artificial Neural Networks. Dissertation, University of Ljubljana.
۲۵. Whillier, A. (۱۹۶۴). Performance of black-painted solar air heaters of conventional design. *Solar Energy*, ۸(1), ۳۱-۳۷.

۲۶. Wang Y.M., Elhag T.M.S. ۲۰۰۷. A comparison of neural network, evidential reasoning and multiple regression analysis in modeling bridge risks. *Expert Systems with Applications*, ۳۴: ۳۳۶-۳۴۸.
۲۷. Zomorodian, A. A., Woods, J. L. & Raoufat, M. H. (۲۰۰۱). Performance characteristics of a transpired solar air heater. *Iran Agricultural Research*, ۲۰, ۱۳۹-۱۰۴. (In Farsi)
۲۸. Zomorodian, A. & Barati, M. (۲۰۱۰). Efficient solar air heater with perforated absorber for crop drying. *J. Agr. Sci. Tech*, ۱۲, ۵۶۹-۵۷۷.